



## Einführung Eigenwerte

Bei der Modellierung von Stabwerken, entstehen folgende Systeme:

$$p = Ax$$

mit  $A = ENE^T$ , Verschiebungsvektor  $x$  und Lastvektor  $p$  und Diagonalmatrix  $N$  mit den Materialeigenschaften.

Betrachtet man nun das dynamische System:

$$m\ddot{x}(t) = Ax(t)$$

So erhält man zu einem **Eigenvektor**  $v$  und zugehörigem **Eigenwert**  $\lambda$

$$x(t) = \cos(\sqrt{\lambda}t)v$$

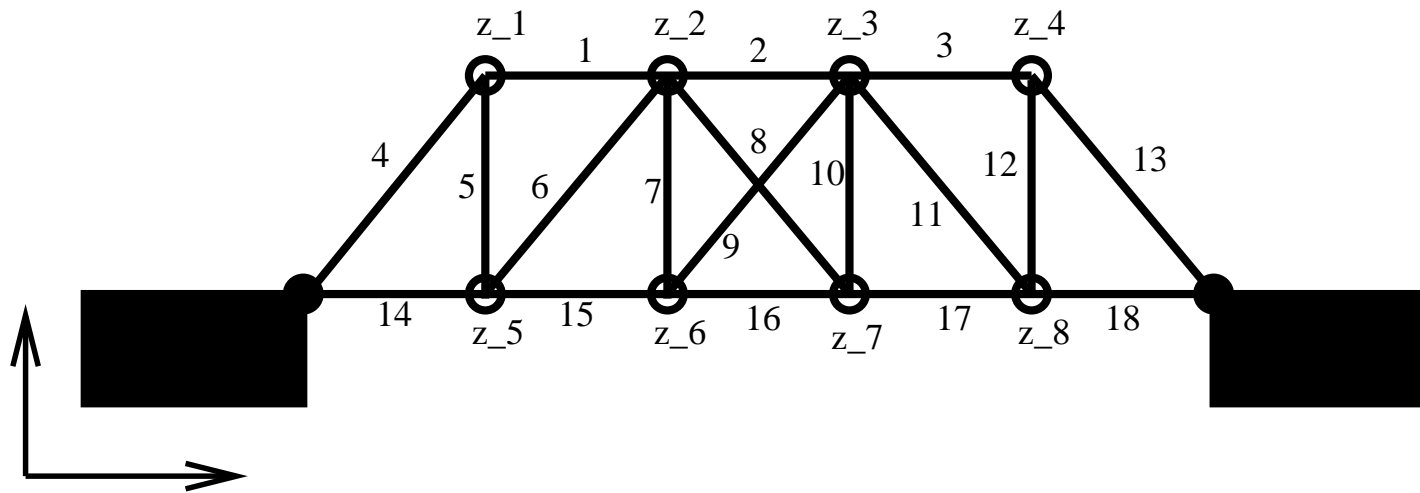
als eine Lösung des Systems.

⇒ **Eigenschwingungen** lassen sich direkt aus den **Eigenwerten** ablesen.



## Einführung Eigenwerte

Betrachtet man folgendes Stabwerk

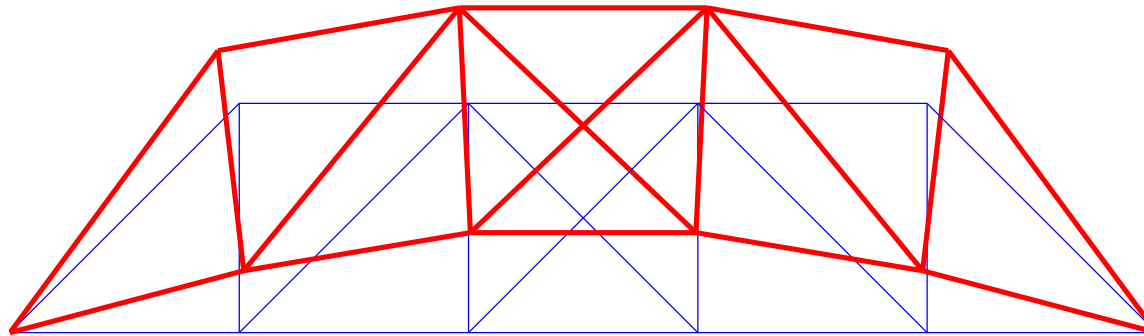


so erhält man bei gegebener Matrix  $A$  u.a. folgende Eigenwerte samt Verschiebung.

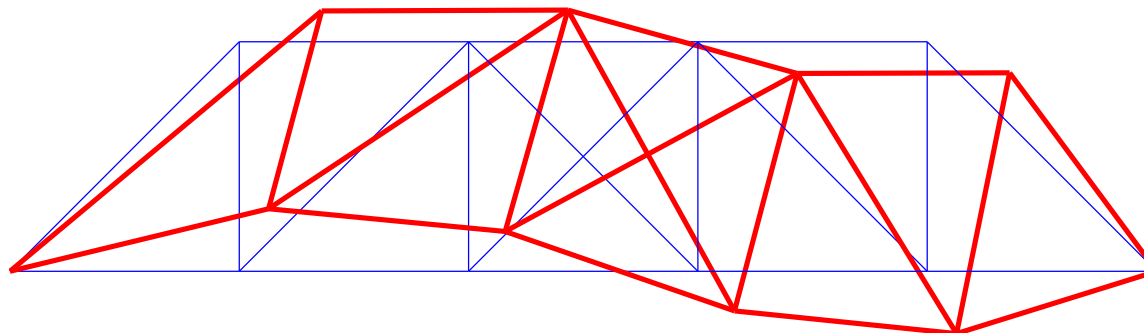


## Einführung Eigenwerte

1. Eigenschwingung:  $\lambda=0.35986$



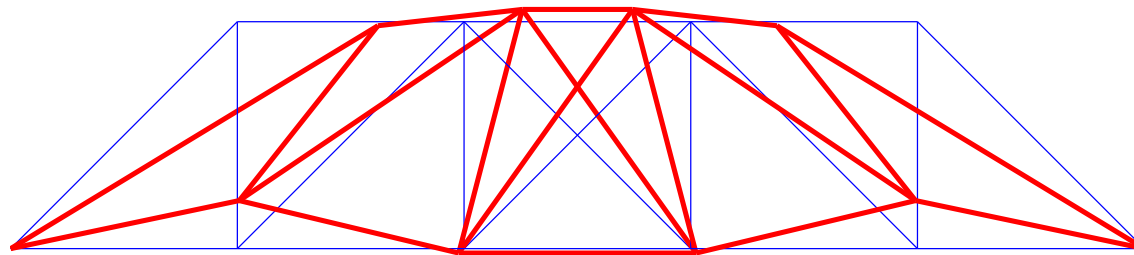
3. Eigenschwingung:  $\lambda=2.8027$



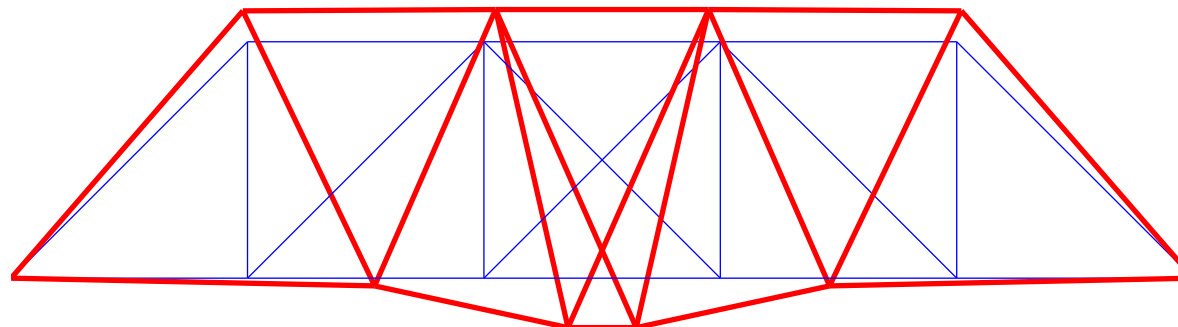


## Einführung Eigenwerte

6. Eigenschwingung:  $\lambda=9.2956$



8. Eigenschwingung:  $\lambda=15.4855$





# Eigenwerte: Inhalt

2.1 Beispiele

2.2 Vektoriteration

2.3 QR-Iteration

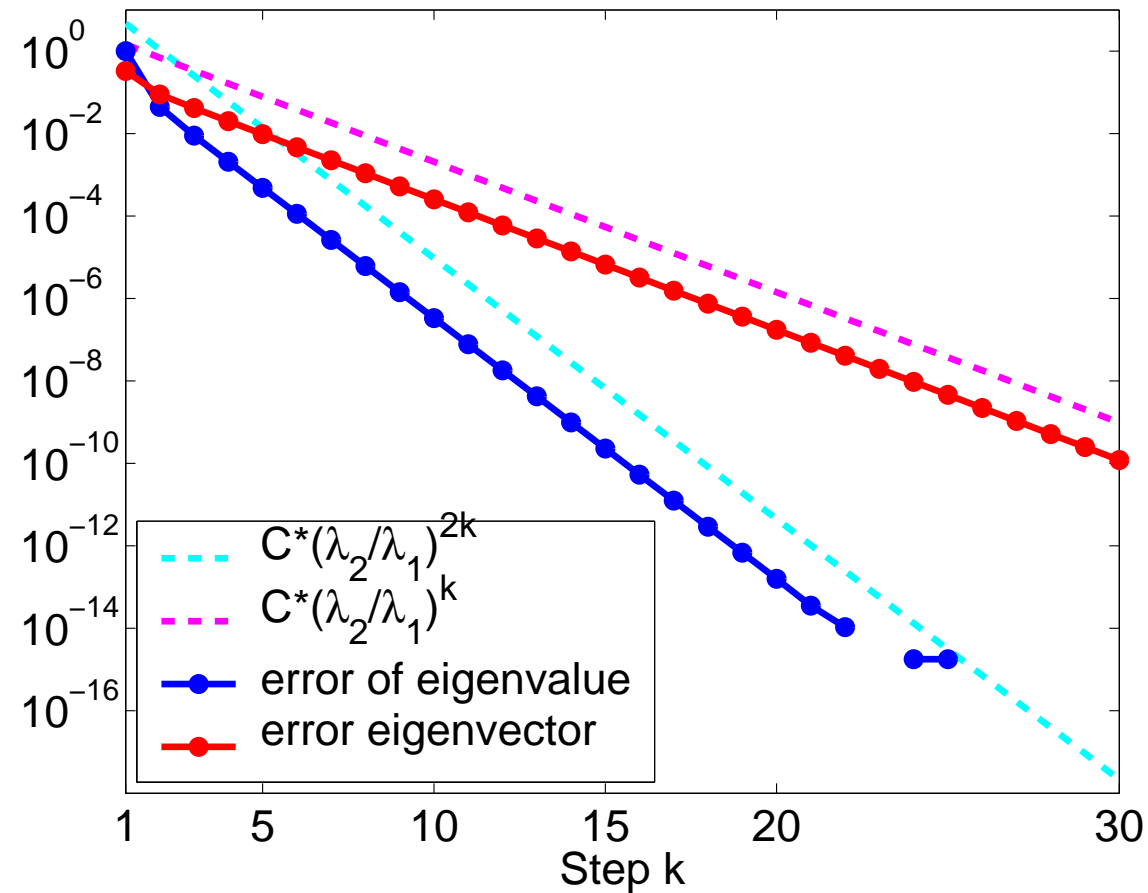


## Vektoriteration (Bsp. 1): $A$ symmetrisch

$$\begin{pmatrix} 0 & 2 & 2 \\ 2 & 6 & 2 \\ 2 & 2 & 8 \end{pmatrix} \begin{pmatrix} 1 \\ 2 \\ 3 \end{pmatrix} = \begin{pmatrix} 10 \\ 20 \\ 30 \end{pmatrix}$$

$$\lambda_1 = 10, \quad \lambda_2 \approx 4.83$$

$$\left| \frac{\lambda_2}{\lambda_1} \right| \approx 0.483$$



Konvergenzraten **symmetrische** Matrix **EW:**  $C \left| \frac{\lambda_2}{\lambda_1} \right|^2$  **EV:**  $C \left| \frac{\lambda_2}{\lambda_1} \right|$

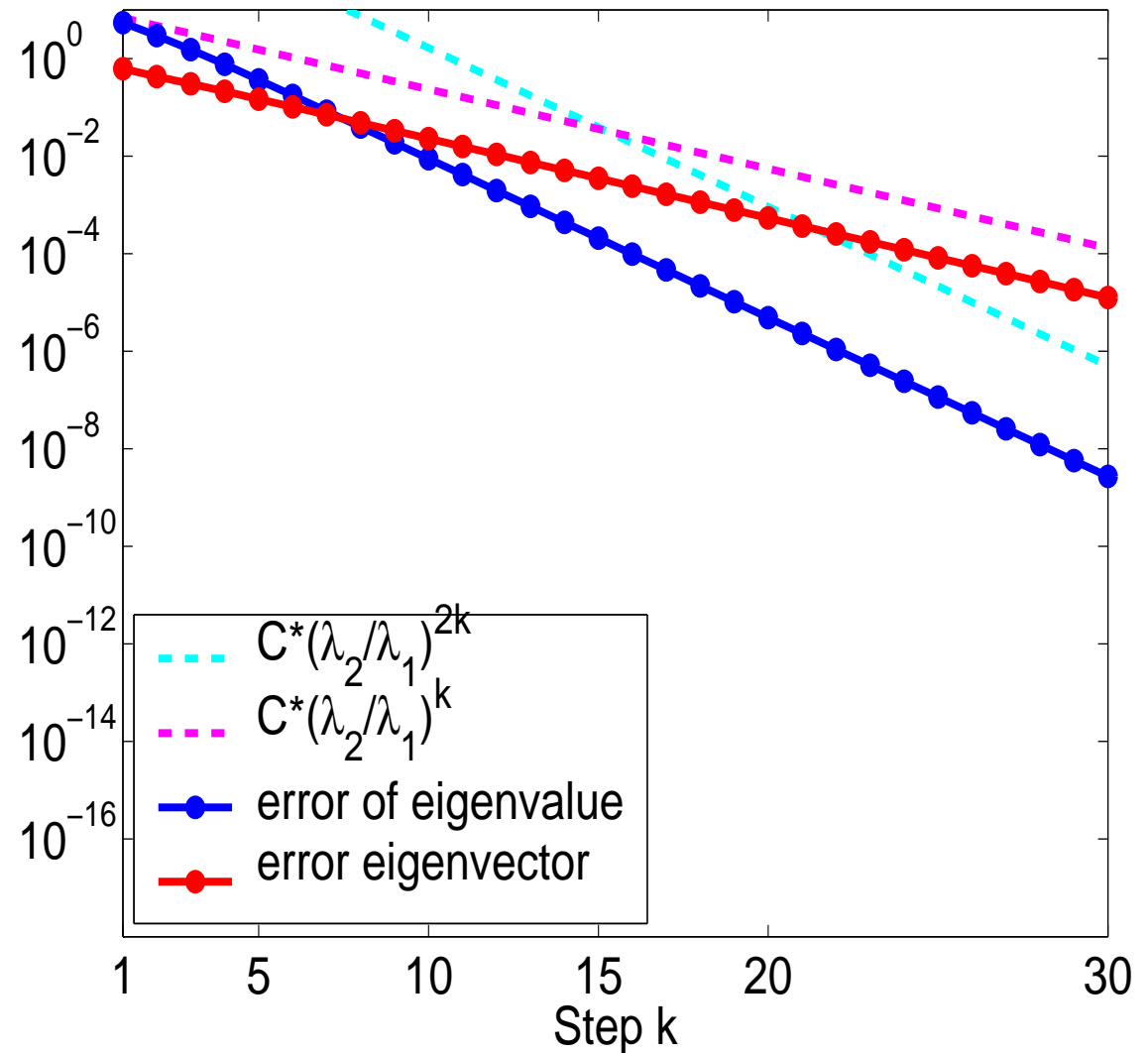


## Vektoriteration (Bsp. 2): $A$ symmetrisch

$$\begin{pmatrix} 1 & 3 & 1 \\ 3 & -2 & 7 \\ 1 & 7 & 5 \end{pmatrix} \begin{pmatrix} 1 \\ 2 \\ 3 \end{pmatrix} = \begin{pmatrix} 10 \\ 20 \\ 30 \end{pmatrix}$$

$$\lambda_1 = 10, \quad \lambda_2 \approx -6.87$$

$$\left| \frac{\lambda_2}{\lambda_1} \right| \approx 0.687$$



Konvergenzraten **symmetrische** Matrix **EW:**  $C \left| \frac{\lambda_2}{\lambda_1} \right|^2$  **EV:**  $C \left| \frac{\lambda_2}{\lambda_1} \right|$



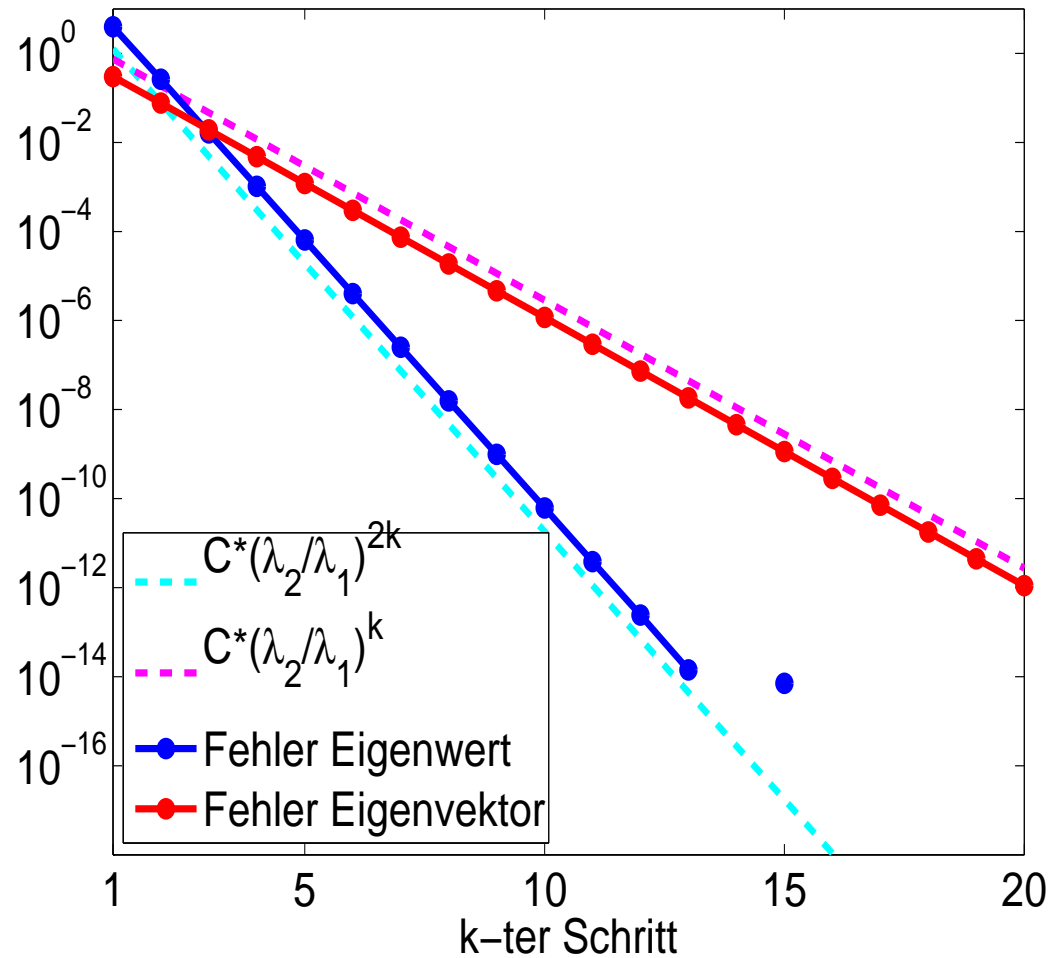
## Vektoriteration (Bsp. 3): $A$ symmetrisch

$$A = \begin{pmatrix} -7 & 13 & -16 \\ 13 & -10 & 13 \\ -16 & 13 & 7 \end{pmatrix},$$

$$\lambda_1 = -36, \quad \lambda_2 = 9,$$

$$\left| \frac{\lambda_2}{\lambda_1} \right| = \frac{1}{4},$$

$$x_1 = \frac{1}{\sqrt{3}} \begin{pmatrix} -1 \\ 1 \\ -1 \end{pmatrix}, \quad x^{(0)} = \begin{pmatrix} 1 \\ 0 \\ 0 \end{pmatrix}$$



Konvergenzraten **symmetrische** Matrix **EW:**  $C \left| \frac{\lambda_2}{\lambda_1} \right|^2$  **EV:**  $C \left| \frac{\lambda_2}{\lambda_1} \right|$



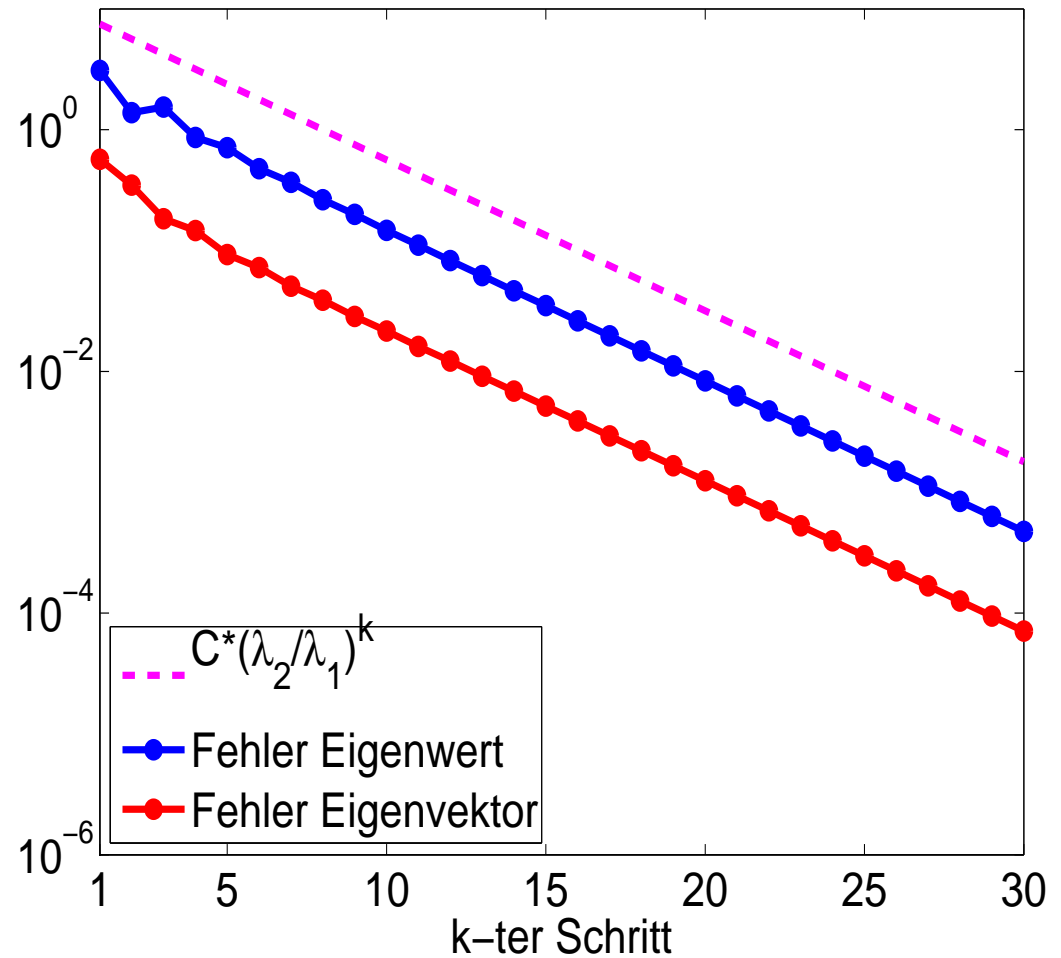


## Vektoriteration (Bsp. 4): $A$ unsymmetrisch

$$A = \begin{pmatrix} 5 & 4 & 4 & 5 & 6 \\ 0 & 8 & 5 & 6 & 7 \\ 0 & 0 & 6 & 7 & 8 \\ 0 & 0 & 0 & -4 & 9 \\ 0 & 0 & 0 & 0 & -2 \end{pmatrix},$$

$$\lambda_1 = 8, \quad \lambda_2 = 6, \quad \left| \frac{\lambda_2}{\lambda_1} \right| = \frac{3}{4},$$

$$x_1 = \frac{1}{5} \begin{pmatrix} 4 \\ 3 \\ 0 \\ 0 \\ 0 \end{pmatrix}, \quad x^{(0)} = \frac{1}{\sqrt{5}} \begin{pmatrix} 1 \\ 1 \\ 1 \\ 1 \\ 1 \end{pmatrix}$$



Konvergenzraten **unsymmetrische** Matrix **EW:**  $C \left| \frac{\lambda_2}{\lambda_1} \right|$  **EV:**  $C \left| \frac{\lambda_2}{\lambda_1} \right|$



## Inverse Vektoriteration (Bsp. 5)

Als Beispiel betrachten wir die Matrix

$$A = \begin{pmatrix} -261 & 209 & -49 \\ -530 & 422 & -98 \\ -800 & 631 & -144 \end{pmatrix}$$

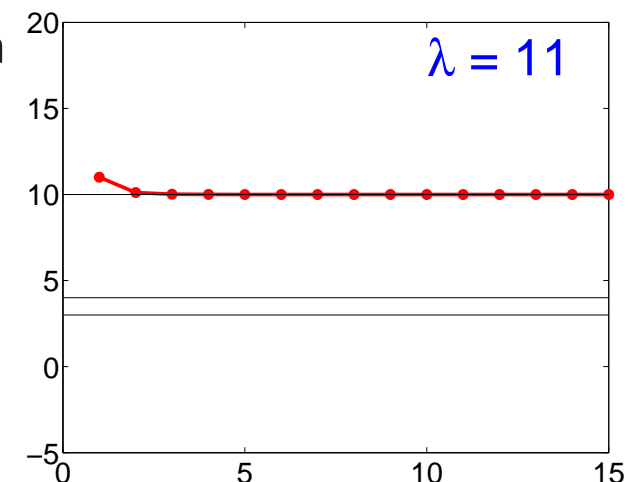
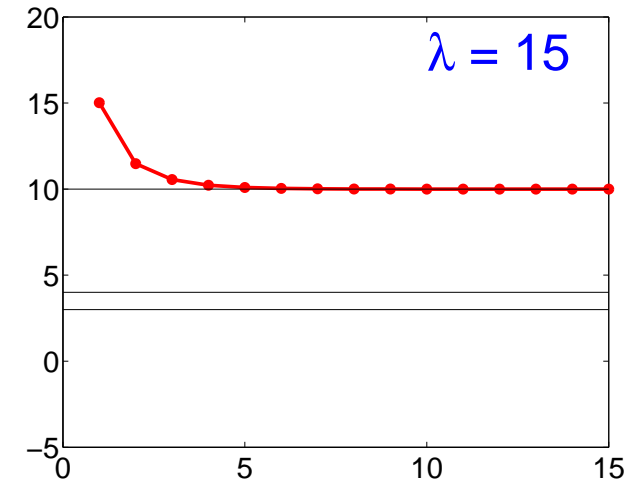
mit den Eigenwerten  $\lambda_1 = 10$ ,  $\lambda_2 = 4$ ,  $\lambda_3 = 3$ .

Ausgehend von verschiedenen Werten für den Shift  $\mu$  führen wir 15 Schritte der inversen Vektoriteration mit dem Startvektor  $x^{(0)} = (1, 0, 0)^\top$  aus.

Beachte dabei die Anordnung von  $|\mu - \lambda_i|$ :

$$\text{Für } \mu = 15: |15 - 11| < |15 - 4| < |15 - 3|$$

$$\text{Für } \mu = 11: |11 - 11| < |11 - 4| < |11 - 3|$$





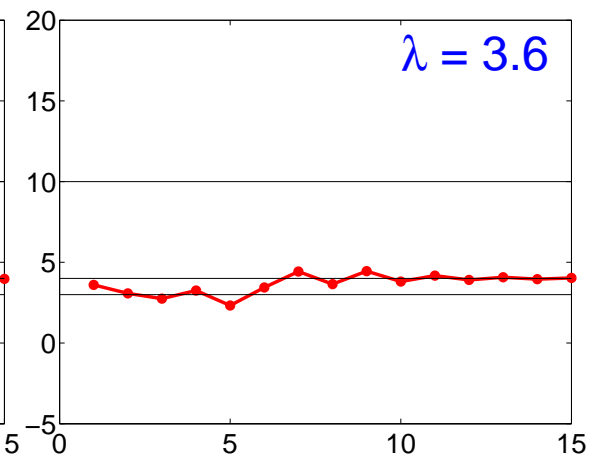
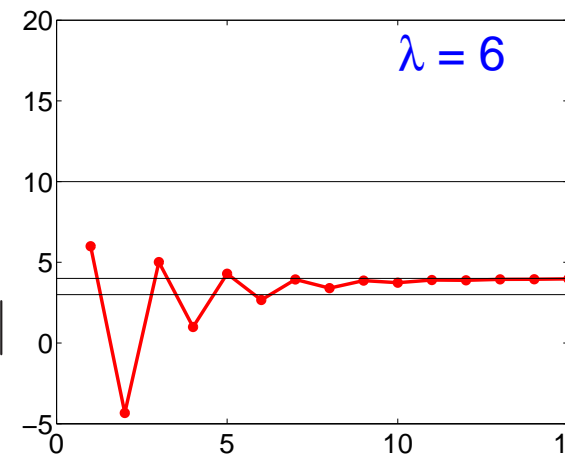
## Inverse Vektoriteration (Bsp. 5)

Für  $\mu = 6$ :

$$|6 - 4| < |6 - 3| < |6 - 11|$$

Für  $\mu = 3.6$ :

$$|3.6 - 4| < |3.6 - 3| < |3.6 - 11|$$

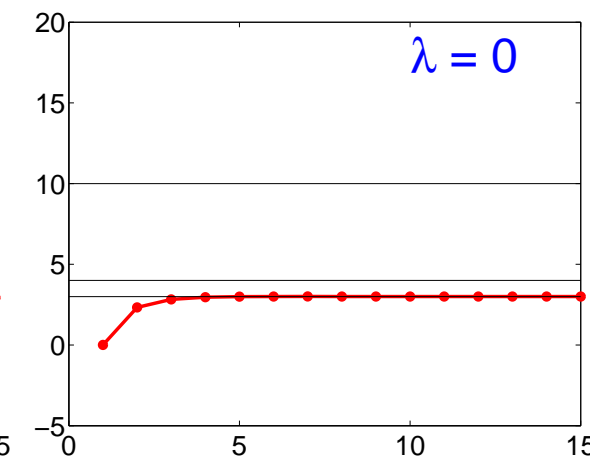
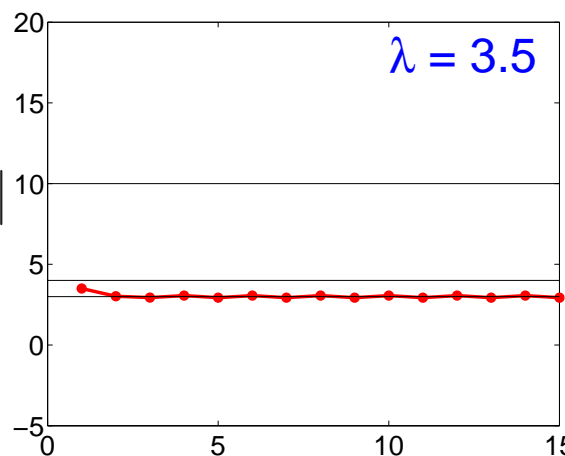


Für  $\mu = 3.5$ :

$$|3.5 - 3| < |3.5 - 4| < |3.5 - 11|$$

Für  $\mu = 0$ :

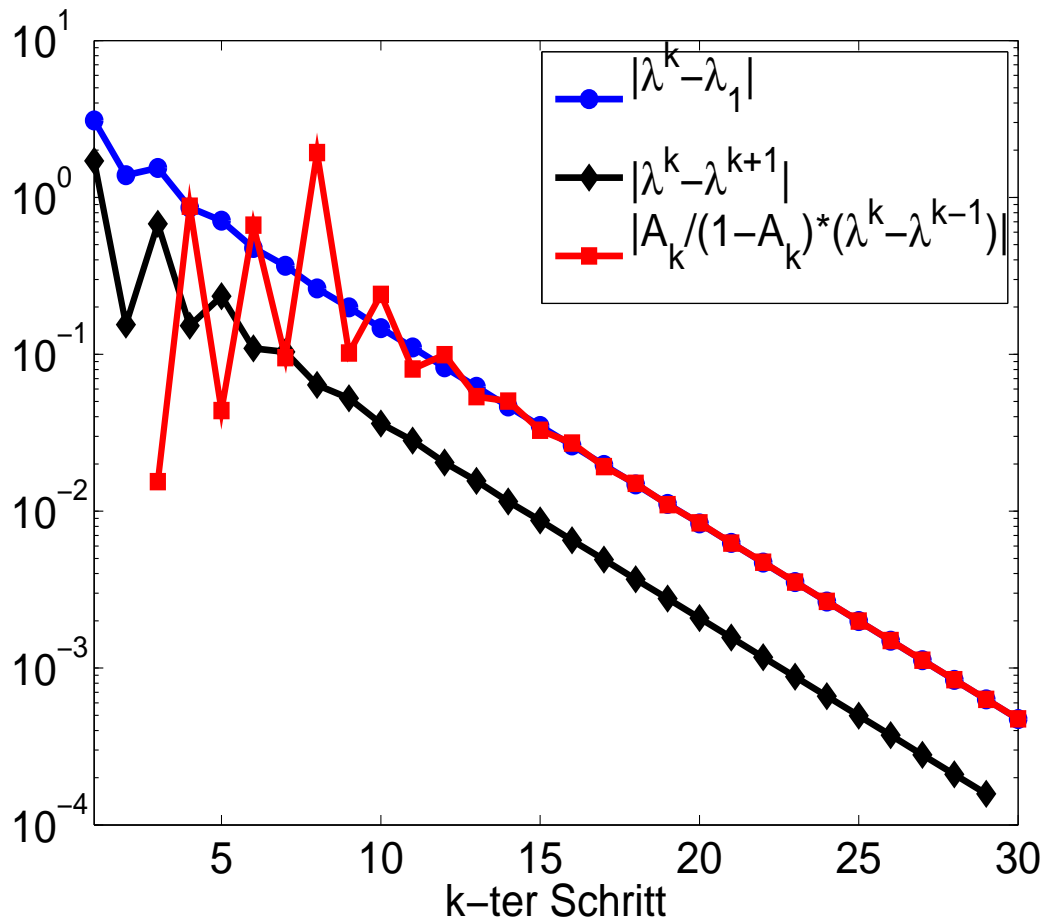
$$|0 - 3| < |0 - 4| < |0 - 11|$$





## Vektoriteration : Konvergenzaussagen

$A$  unsymmetrisch



**Problem:** Fehler  $|\lambda^{(k)} - \lambda_1|$  unbekannt.

$\Rightarrow |\lambda^{(k+1)} - \lambda^{(k)}|$  unterschätzt Fehler  $|\lambda^{(k)} - \lambda_1|$ .

$\Rightarrow \left| \frac{A_k}{1 - A_k} (\lambda^{(k)} - \lambda^{(k-1)}) \right|$  ist gutes Maß für  $|\lambda^{(k)} - \lambda_1|$  für  $k$  groß genug.

$$A_k := \frac{\lambda^{(k)} - \lambda^{(k-1)}}{\lambda^{(k-1)} - \lambda^{(k-2)}}$$



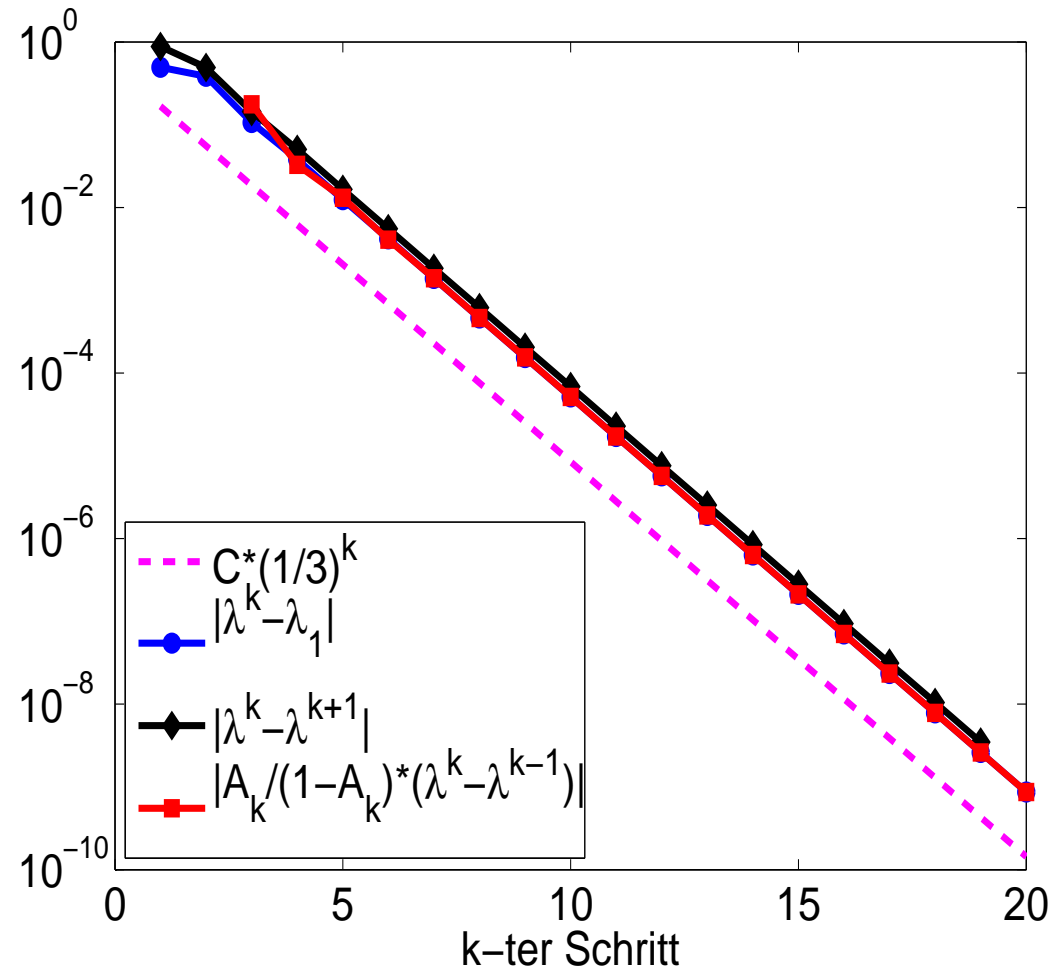
## Inverse Vektoriteration: $\mu$ fest

$$A = \begin{pmatrix} 5 & 4 & 4 & 5 & 6 \\ 0 & 8 & 5 & 6 & 7 \\ 0 & 0 & 6 & 7 & 8 \\ 0 & 0 & 0 & -4 & 9 \\ 0 & 0 & 0 & 0 & -2 \end{pmatrix},$$

$$\mu = -3.5, \quad \min_j |\lambda_j - \mu| = 0.5,$$

$$\lambda_4 = -4, \quad \min_{j \neq 4} |\lambda_j - \mu| = 1.5,$$

$$\frac{|\lambda_4 - \mu|}{\min_{j \neq 4} |\lambda_j - \mu|} = \frac{1}{3}$$





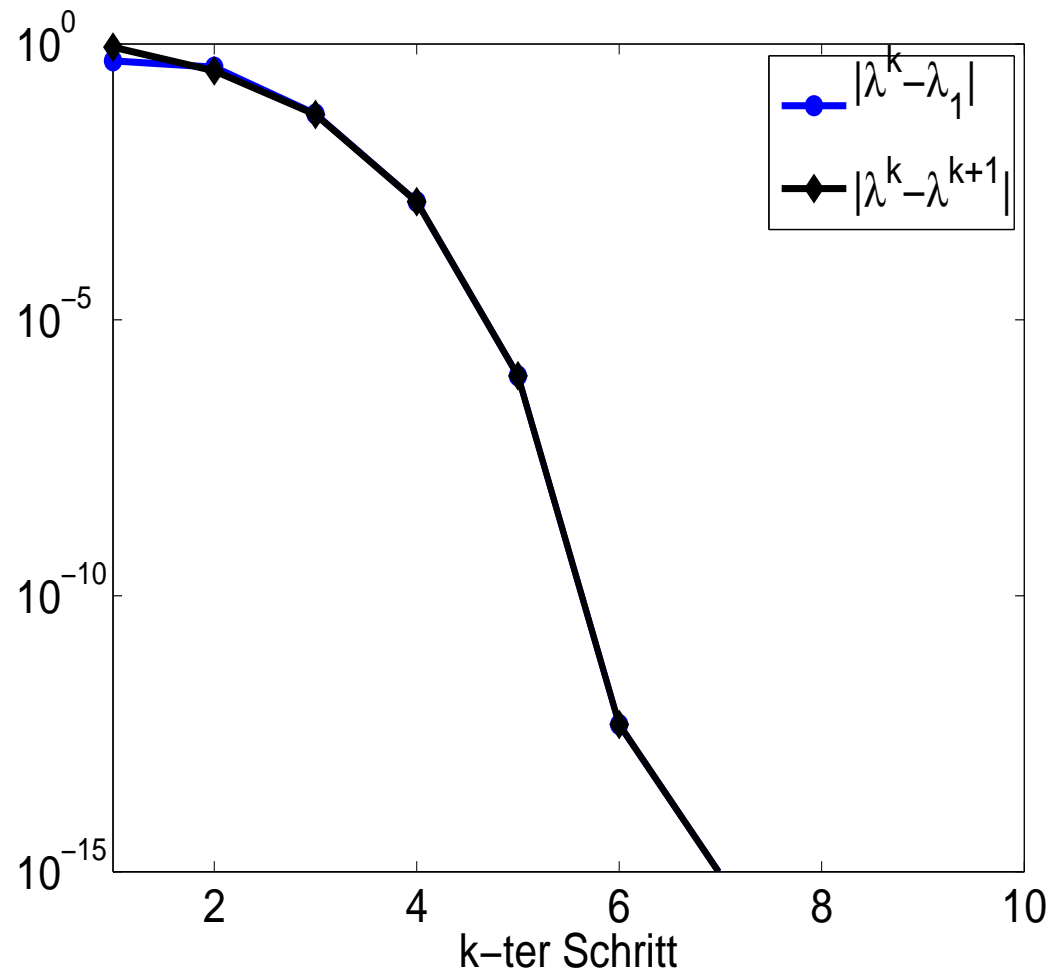
## Inverse Vektoriteration: $\mu$ adaptiv

$$A = \begin{pmatrix} 5 & 4 & 4 & 5 & 6 \\ 0 & 8 & 5 & 6 & 7 \\ 0 & 0 & 6 & 7 & 8 \\ 0 & 0 & 0 & -4 & 9 \\ 0 & 0 & 0 & 0 & -2 \end{pmatrix},$$

$$\mu^{(0)} = -3.5, \quad \mu^{(k)} = \lambda^{(k-1)}$$

⇒ **quadratische** Konvergenz

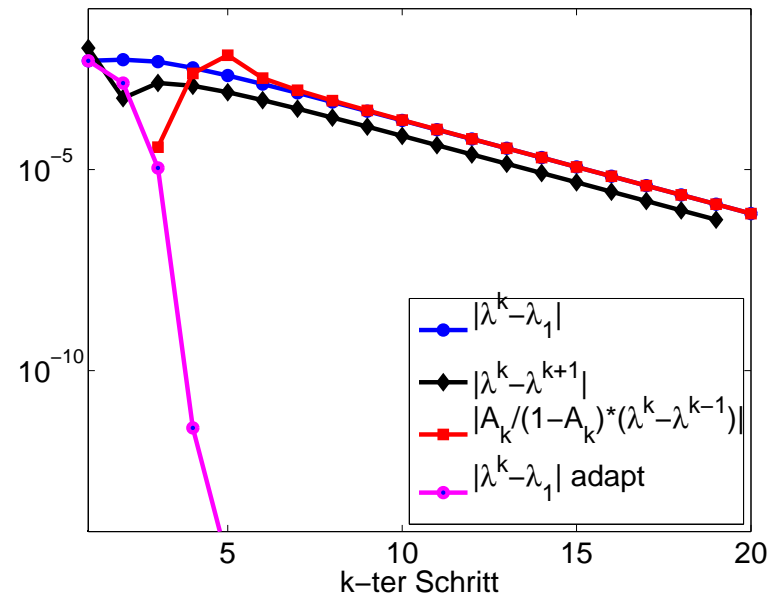
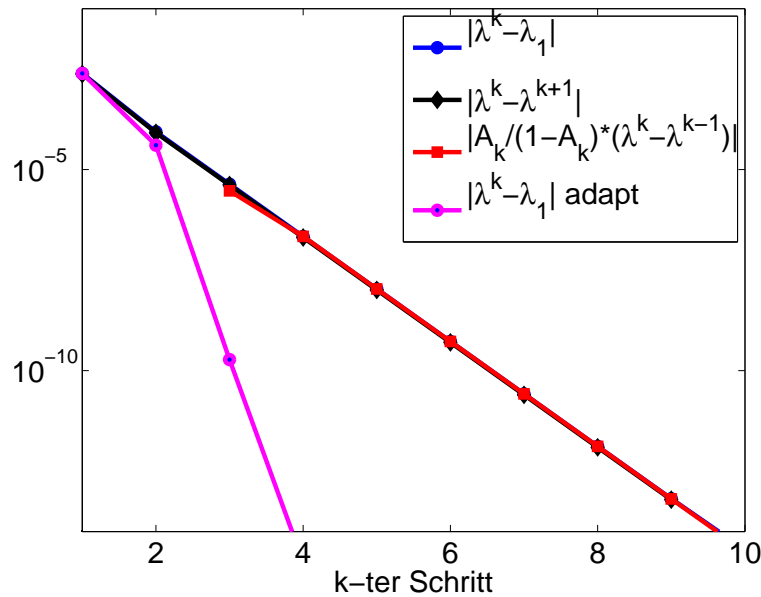
$$\left| \lambda^{(k+1)} - \lambda^{(k)} \right| \approx \left| \lambda^{(k)} - \lambda_1 \right|$$





## Inverse Vektoriteration: Poisson-Matrix

$$A \in \mathbb{R}^{16^2 \times 16^2}, \quad \lambda_{10,10} = 8 \sin^2 \left( \frac{10\pi k}{2 \cdot 17} \right) \approx 5.0947$$



$$\mu = 5.1, \quad \frac{|\lambda_{10,10} - \mu|}{\min |\lambda_{kl} - \mu|} \approx 0.1$$

$$\mu = 5.12, \quad \frac{|\lambda_{10,10} - \mu|}{\min |\lambda_{kl} - \mu|} \approx 0.82$$



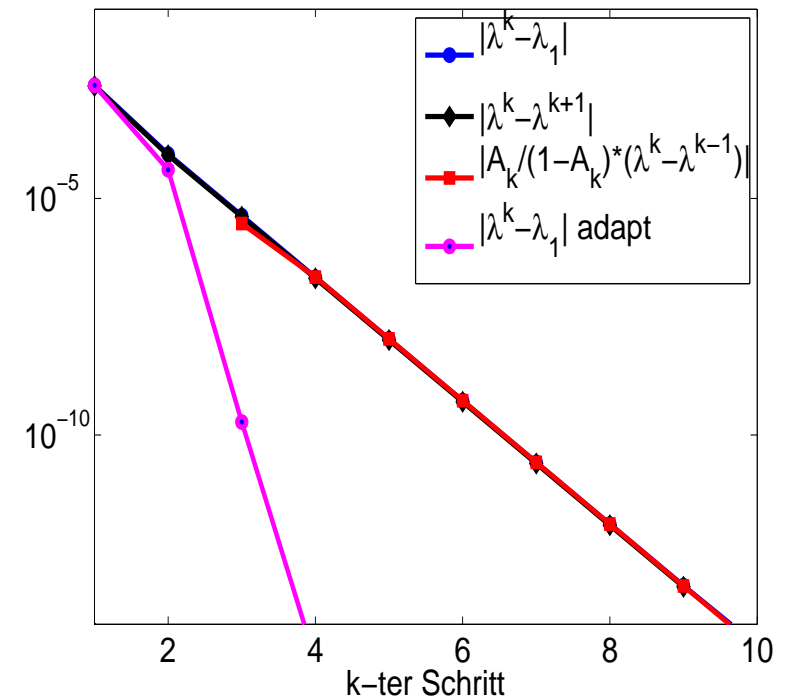
## Inverse Vektoriteration (3): Poisson-Matrix

$$A = \begin{pmatrix} B & -\text{Id} & & \\ -\text{Id} & B & \cdots & \\ & \cdots & \cdots & -\text{Id} \\ & & -\text{Id} & B \end{pmatrix} \in \mathbb{R}^{n^2 \times n^2},$$

$$B = \begin{pmatrix} 4 & -1 & & \\ -1 & 4 & \cdots & \\ & \cdots & \cdots & -1 \\ & & -1 & 4 \end{pmatrix} \in \mathbb{R}^{n \times n},$$

$$\lambda_{kl} = 4 \left[ \sin^2 \left( \frac{\pi kh}{2} \right) + \sin^2 \left( \frac{\pi lh}{2} \right) \right],$$

$$1 \leq k, l \leq n, \quad h = \frac{1}{n+1}$$







## QR-Iteration

### **Vorüberlegung:**

Die Multiplikation mit einer orthonormalen Matrix  $Q$  heißt Ähnlichkeitstransformation. Die Eigenwerte einer Matrix  $A$  bleiben unter einer Ähnlichkeitstransformation erhalten: Sei  $\lambda$  ein Eigenwert der Matrix  $A$ , dann folgt

$$Ax = \lambda x \Leftrightarrow Q^T A Q Q^T x = \lambda Q^T x.$$

Außerdem bleibt bei der Multiplikation mit einer orthonormalen Matrix die Kondition erhalten, so dass keine numerischen Stabilitätsprobleme auftreten.

### **Idee der QR-Iteration:**

Durch eine Multiplikation mit einer orthonormalen Matrix kann die Matrix  $A$  auf eine Form gebracht werden, für welche die Berechnung der Eigenwerte leichter ist. Dies ist zum Beispiel bei einer oberen Dreiecksmatrix der Fall.



## QR-Iteration: Algorithmus

### Algorithmus: QR-Iteration

Voraussetzung: Die Matrix  $A$  besitzt nur reelle Eigenwerte.

**for**  $k = 0, 1, \dots$  **do**

$$A_k := Q_k R_k \quad (\Rightarrow QR\text{-Zerlegung})$$

$$A_{k+1} := R_k Q_k \quad \Rightarrow (\lim A_{k+1} = \text{obere Dreiecksmatrix})$$

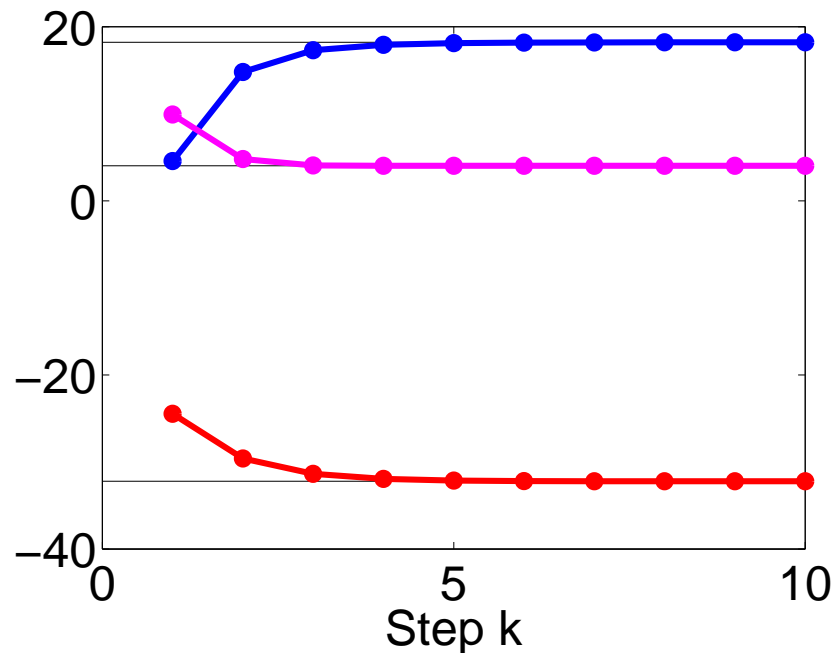
**end for**

**Satz:** Die mit dem Algorithmus erzeugten Matrizen  $A_{k+1}$  sind ähnlich zu  $A$ .

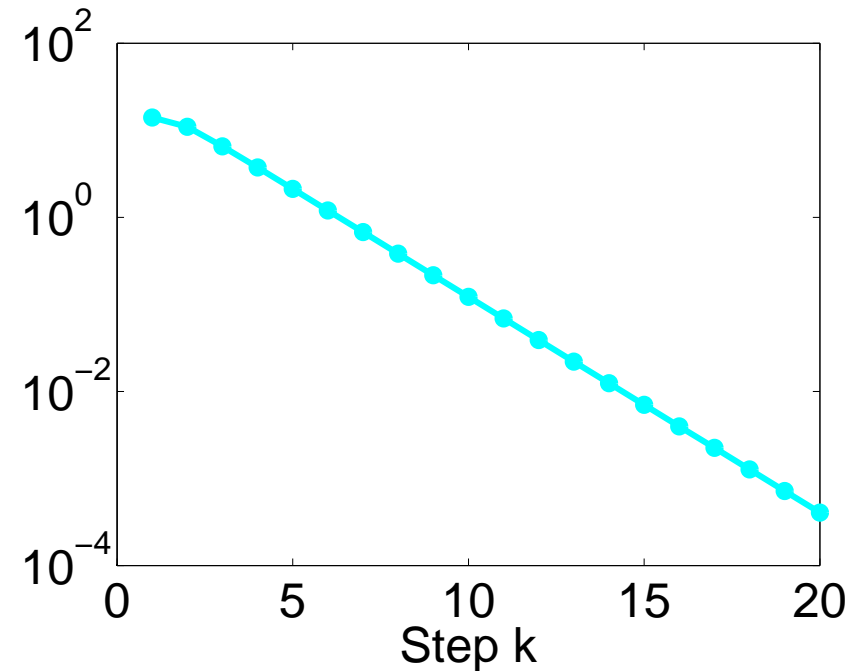


## QR-Iteration - $A$ symmetrisch

Diagonaleinträge von  $A^{(k)}$



Betrag des größten Eintrages der unteren Dreiecksmatrix von  $A^{(k)}$





## QR-Iteration - Beispiel: Berechnung aller EW, $A$ symmetrisch

$$k = 0, 1, \dots$$

$$A^{(k)} = Q^{(k)} R^{(k)}$$

$\Rightarrow$  QR-Zerlegung

$$A^{(k+1)} = R^{(k)} Q^{(k)}$$

$\Rightarrow$  Matrixmultiplikation

$$A^{(0)} = \begin{pmatrix} -7 & 13 & -16 \\ 13 & -10 & 13 \\ -16 & 13 & 7 \end{pmatrix}$$

$$A^{(1)} = \begin{pmatrix} -24.4705 & -14.0115 & -11.2872 \\ -14.0115 & 4.5667 & 3.2256 \\ -11.2872 & 3.2256 & 9.9038 \end{pmatrix}$$

$$A^{(2)} = \begin{pmatrix} -29.6119 & 10.9418 & -2.2539 \\ 10.9418 & 14.8061 & -2.9340 \\ -2.2539 & -2.9340 & 4.8058 \end{pmatrix}$$

$$A^{(5)} = \begin{pmatrix} -32.1354 & -2.1182 & -0.0046 \\ -2.1182 & 18.1158 & 0.0384 \\ -0.0046 & 0.0384 & 4.0195 \end{pmatrix}$$

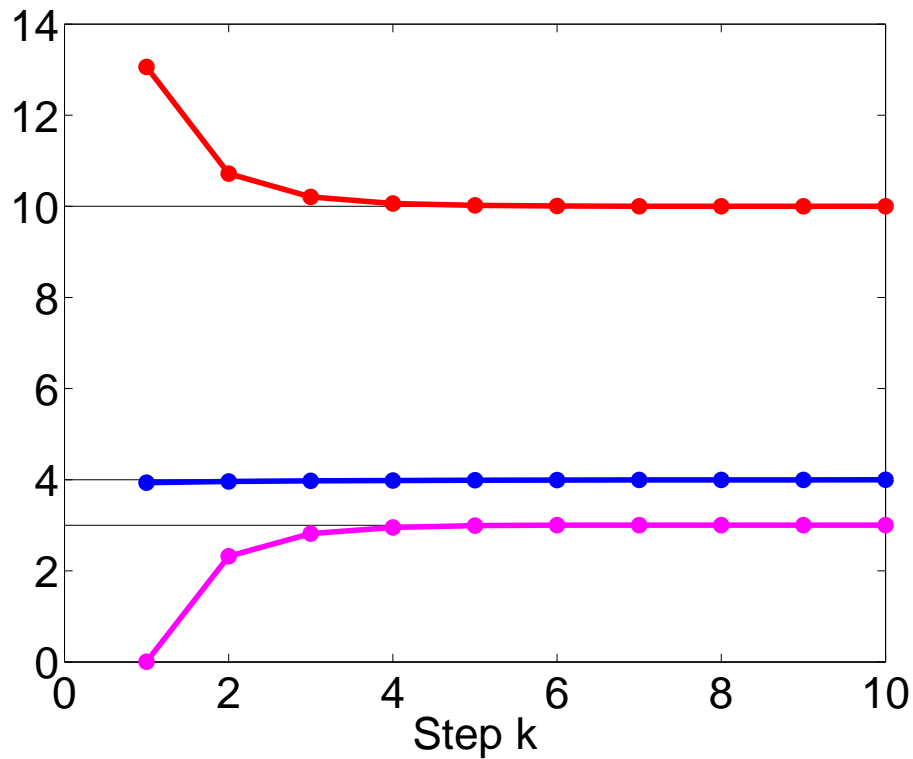
$$A^{(10)} = \begin{pmatrix} -32.2242 & 0.1221 & 0.0000 \\ 0.1221 & 18.2048 & 0.0000 \\ 0.0000 & 0.0000 & 4.0194 \end{pmatrix}$$

$$A^{(20)} = \begin{pmatrix} -32.2245 & 0.0004 & 0.0000 \\ 0.0004 & 18.2051 & 0.0000 \\ 0.0000 & 0.0000 & 4.0194 \end{pmatrix}$$

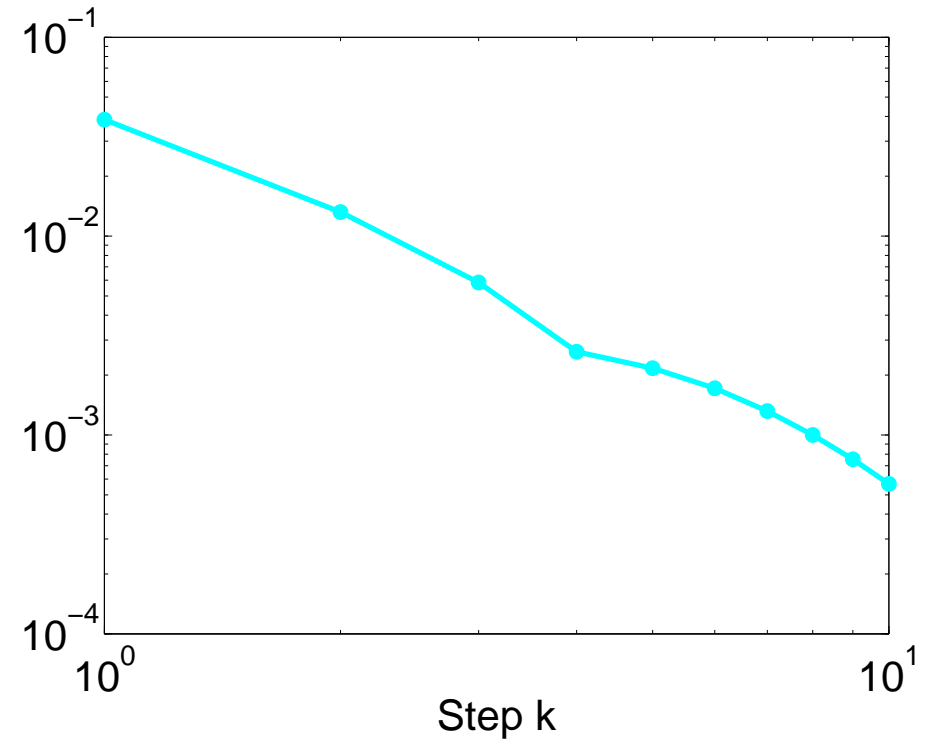


## QR-Iteration - $A$ unsymmetrisch

Diagonaleinträge von  $A^{(k)}$



Betrag des größten Eintrages der unteren Dreiecksmatrix von  $A^{(k)}$





## QR-Iteration - Beispiel: Berechnung aller EW, $A$ unsymmetrisch

$$k = 0, 1, \dots$$

$$A^{(k)} = Q^{(k)} R^{(k)}$$

$\Rightarrow$  QR-Zerlegung

$$A^{(k+1)} = R^{(k)} Q^{(k)}$$

$\Rightarrow$  Matrixmultiplikation

$$A^{(0)} = \begin{pmatrix} -261 & 209 & -49 \\ -530 & 422 & -98 \\ -800 & 631 & -144 \end{pmatrix}$$

$$A^{(1)} = \begin{pmatrix} 13.061 & -9.108 & -1281.2 \\ 0.039 & 3.935 & -2.934 \\ 0.024 & -0.017 & 0.005 \end{pmatrix}$$

$$A^{(2)} = \begin{pmatrix} 10.719 & -9.005 & 1281.2 \\ 0.013 & 3.962 & -0.845 \\ -0.004 & 0.000 & 2.319 \end{pmatrix}$$

$$A^{(3)} = \begin{pmatrix} 10.207 & -10.073 & -1281.2 \\ 0.006 & 3.975 & 2.423 \\ 0.001 & 0.002 & 2.818 \end{pmatrix}$$

$$A^{(5)} = \begin{pmatrix} 10.012 & -12.106 & -1281.2 \\ 0.001 & 3.989 & 3.489 \\ 0.000 & 0.002 & 2.991 \end{pmatrix}$$

$$A^{(10)} = \begin{pmatrix} 10.000 & -14.393 & 1281.1 \\ 0.000 & 3.998 & -3.739 \\ 0.000 & 0.000 & 3.002 \end{pmatrix}$$



## QR-Iteration: Hessenberg-Matrix

### Aufwand der QR-Iteration:

Bei vollbesetzten Matrizen beträgt der Aufwand der QR-Iteration pro Schritt  $\mathcal{O}(n^3)$ .

### Idee:

Überführe  $A$  durch Ähnlichkeitstransformationen in eine obere Hessenberg-Matrix  $H$  mit

$$H = \begin{pmatrix} * & \cdots & \cdots & * \\ * & \ddots & & \vdots \\ & \ddots & \ddots & \vdots \\ 0 & & * & * \end{pmatrix},$$

also ist  $H_{ij} = 0$  für  $i > j + 1$ .

Dann beträgt der Aufwand der QR-Iteration pro Schritt nur noch  $\mathcal{O}(n^2)$ . Für symmetrische Matrizen beträgt der Aufwand pro Schritt sogar nur noch  $\mathcal{O}(n)$ .



## *QR*-Iteration: Konvergenz

### **Problem:**

Langsame Konvergenz der *QR*-Iteration im Fall betragsmäßig nahe beieinander liegender Eigenwerte.

### **Ausweg:**

Einfache Shift-Strategie zusammen mit Deflation.

### **Bemerkung:**

Wenn  $A$  komplexe Eigenwerte hat, so ist eine doppelte Shift-Strategie notwendig.





## QR-Iteration: Algorithmus mit Shift und Deflation

function  $QRrayleigh(A)$

$A \in \mathbb{R}^{n \times n}$ ,  $A_0 = A$ ,  $A$  in Hessenbergform

**if**  $n = 1$  **then**

    return  $A(1, 1)$

**end if**

Define  $l = 0$ ,  $TOL$ ,  $l_{\max}$

**while**  $|A_l(n, n - 1)| > TOL \cdot (|A_l(n, n)| + |A_l(n - 1, n - 1)|)$  **and**  $l \leq l_{\max}$  **do**

$\mu^{(l)} := A_l(n, n)$

$A_l - \mu^{(l)} Id =: Q_{l+1} R_{l+1}$

$A_{l+1} := R_{l+1} Q_{l+1} + \mu^{(l)} Id$

$l := l + 1$

**end while**

**if**  $n = 2$  **then**

    return  $A_l(2, 2) \cup A_l(1, 1)$

**else**

$A_{deflation} = A_l(1 : n - 1, 1 : n - 1)$

    return  $A_l(n, n) \cup QRrayleigh(A_{deflation})$

**end if**

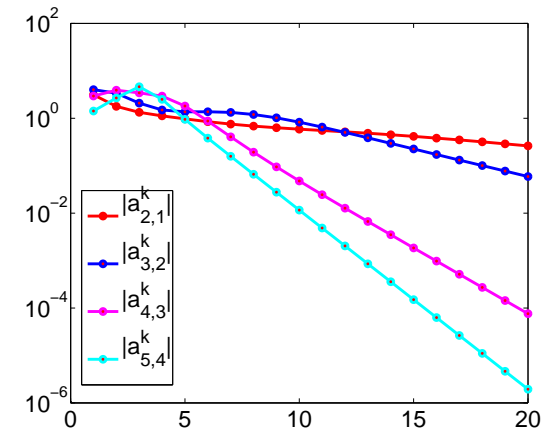


## QR-Iteration ohne Shift, $A$ symmetrisch

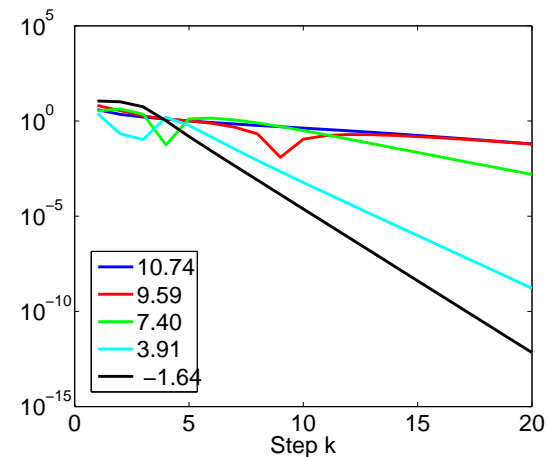
$$A = \begin{pmatrix} 2 & 4 & 0 & 0 & 0 \\ 4 & 4 & 3 & 0 & 0 \\ 0 & 3 & 6 & 2 & 0 \\ 0 & 0 & 2 & 8 & 1 \\ 0 & 0 & 0 & 1 & 10 \end{pmatrix}$$

Durch Anwendung des  $QR$ -Algorithmus erhält man **lineare** Konvergenz in der Subdiagonalen gegen die Null.

Subdiagonaleinträge



Konvergenz im EW



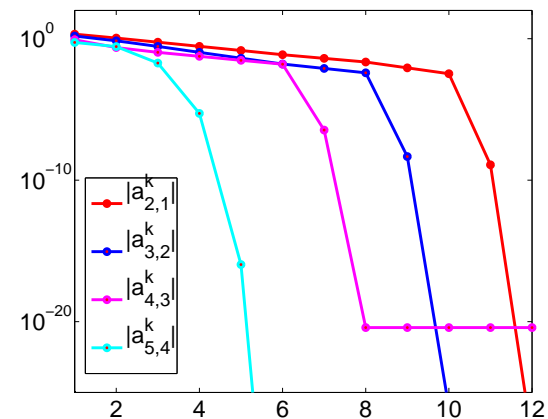


# QR-Iteration mit Shift und Deflation, $A$ symmetrisch

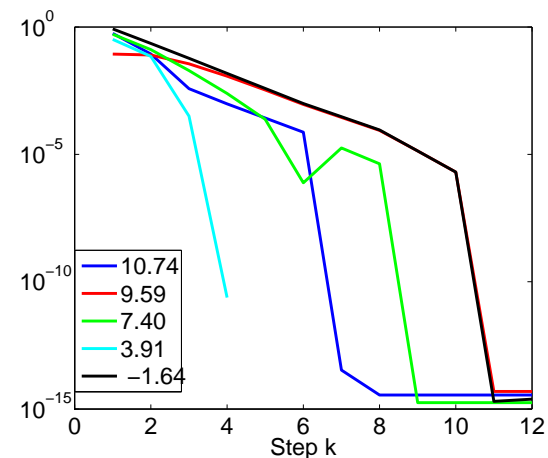
$$A = \begin{pmatrix} 2 & 4 & 0 & 0 & 0 \\ 4 & 4 & 3 & 0 & 0 \\ 0 & 3 & 6 & 2 & 0 \\ 0 & 0 & 2 & 8 & 1 \\ 0 & 0 & 0 & 1 & 10 \end{pmatrix}$$

Durch Anwendung des  $QR$ -Algorithmus mit Shift und Deflation erhält man **kubische** Konvergenz in der Subdiagonalen gegen die Null.

Subdiagonaleinträge



Konvergenz der EW





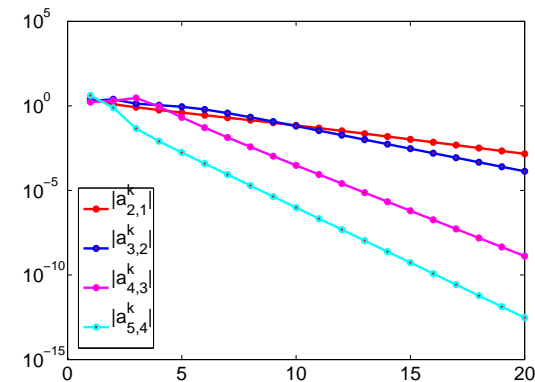
## QR-Iteration ohne Shift, $A$ unsymmetrisch

$$A = \begin{pmatrix} 2 & 3 & 4 & 5 & 6 \\ 4 & 4 & 5 & 6 & 7 \\ 0 & 3 & 6 & 7 & 8 \\ 0 & 0 & 2 & 8 & 9 \\ 0 & 0 & 0 & 1 & 10 \end{pmatrix}$$

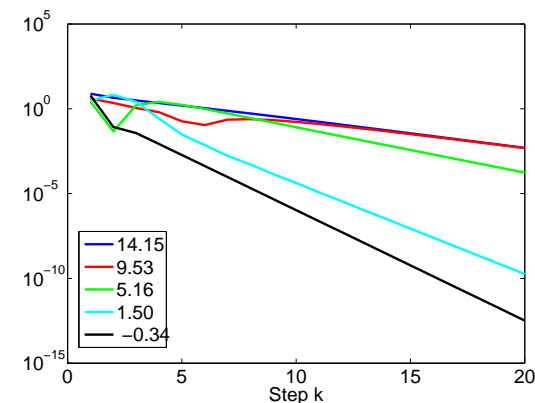
Durch Anwendung des  $QR$ -Algorithmus erhält man **lineare** Konvergenz in der Subdiagonalen gegen die Null.

*Dahmen/Reusken: Numerik für Ingenieure und Naturwissenschaftler, 2.korrigierte Auflage, Springer, Berlin 2008, Seite 257ff.*

Subdiagonaleinträge



Konvergenz der EW





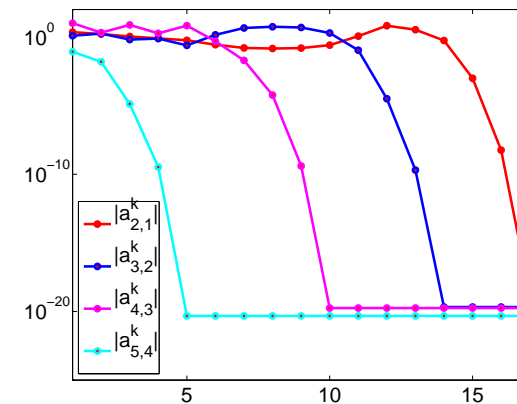
## QR-Iteration mit Shift und Deflation, $A$ unsymmetrisch

$$A = \begin{pmatrix} 2 & 3 & 4 & 5 & 6 \\ 4 & 4 & 5 & 6 & 7 \\ 0 & 3 & 6 & 7 & 8 \\ 0 & 0 & 2 & 8 & 9 \\ 0 & 0 & 0 & 1 & 10 \end{pmatrix}$$

Durch Anwendung des  $QR$ -Algorithmus mit Shift und Deflation erhält man **quadratische** Konvergenz in der Subdiagonalen gegen die Null.

*Dahmen/Reusken: Numerik für Ingenieure und Naturwissenschaftler, 2.korrigierte Auflage, Springer, Berlin 2008, Seite 257ff.*

Subdiagonaleinträge



Konvergenz der EW

